

# 若干图的顶点魔幻全标号<sup>①</sup>

席晓慧, 李敬文, 孙 帅

兰州交通大学 电子与信息工程学院, 兰州 730070

**摘要:** 设计了一种针对顶点魔幻解空间的递归搜索算法, 并利用顶点魔幻全标号的特性以及一系列剪枝函数对其进行优化, 实现了对有限点内任意简单连通图的顶点魔幻全标号的求解。通过对已经得到的结果进行分析总结, 发现了关于龙图、图  $C_4^{(m)}$ 、图  $F_n^{(2)}$  以及一类用联图  $G \nabla H$  来刻画的图的标号规律, 总结出若干定理。

**关 键 词:** 顶点魔幻全标号; 算法; 剪枝函数; 连通图

中图分类号: O157.5

文献标志码: A

文章编号: 1000-5471(2020)08-0018-07

图论<sup>[1]</sup> 来源于 18 世纪提出的一个实际应用问题——哥尼斯堡七桥问题。在 1736 年, 瑞士数学家欧拉解决了该问题, 并开创了图论这一新的数学分支, 从此, 图论得到了众多学者的研究, 并不断发展。图论的研究应用涵盖了计算机科学、信息学、密码学等多个领域<sup>[2]</sup>, 具有重要的理论意义和现实意义。

图标号是图论中的重要分支之一, 起源于优美猜想, 后来学者提出优美标号、 $(p, 1)$ -全标号和魔幻标号等, 优美标号是至今图论中重要的研究领域<sup>[3-4]</sup>。文献[5]引入了顶点魔幻全标号的概念。通过对特殊图和一些较容易被刻画的图的研究, 众多研究者已经发表了许多关于顶点魔幻全标号的研究成果。文献[6-11]证明了图  $C_n$ 、图  $K_n$ 、图  $T_n$ 、正则图等特殊图的标号结论。但是为了更好地与实际问题相结合, 只使用特殊图是完全不够的, 而已有的研究成果中对于一般图的研究又比较少见。

针对以上问题, 本文设计了一种针对顶点魔幻解空间的递归搜索算法, 并利用顶点魔幻全标号的特性以及一系列剪枝函数对其进行优化, 得到了有限点内所有图的顶点魔幻全标号, 然后从结果集中分析所有图的标号规律, 得到了龙图、图  $C_4^{(m)}$ 、图  $F_n^{(2)}$  以及  $G \nabla H$  的标号规律, 得出相关结论。

## 1 基础知识

文中  $S_n$  定义为中心节点为  $v_0$  且包含  $n$  个叶子节点的星图, 扇图  $F_n$  定义为中心节点为  $v_0$  且包含  $n$  个扇页顶点的扇图。图  $G(p, q)$  表示的是包含  $p$  个顶点、 $q$  条边, 且顶点集合为  $V(G)$ , 边集合为  $E(G)$  的简单连通图。

**定义 1<sup>[12]</sup>** 对于给定的图  $G(p, q)$ , 如果存在常数  $k$  和一一映射  $f: V(G) \cup E(G) \longrightarrow \{1, 2, \dots, p+q\}$ , 使得对每个顶点  $v \in V(G)$  都满足  $f(v) + \sum_{u \in N(v)} f(uv) = k$ , 其中  $N(v)$  表示与顶点  $v$  所关联的顶点的集合,  $k$  为魔幻常数, 则称  $f$  是图  $G$  的顶点魔幻全标号, 简称 VMTL, 如果一个图不存在 VMTL, 则称其为非 VMTL 图, 简称 NVMTL。

**定义 2** 将图  $G$  的叶子节点与图  $H$  的中心点连接, 所得的图记为  $G \nabla H$ 。例如:

- (i)  $G = S_m$ ,  $H = C_n$ , 联图为  $S_m \nabla C_n$  ( $n \geq 2, m \geq 3$ ), 示例如图 1(a) 所示;
- (ii)  $G = S_m$ ,  $H = F_n$ , 联图  $S_m \nabla F_n$  ( $m \geq 2, n \geq 3$ ), 示例如图 1(b) 所示。

① 收稿日期: 2019-07-06

基金项目: 国家自然科学基金项目(11461038)。

作者简介: 席晓慧(1990—), 女, 硕士研究生, 主要从事图论算法及其应用的研究。

通信作者: 李敬文, 教授。

**定义 3<sup>[12]</sup>** 具有公共点的  $m$  个  $C_n$  组成的图称为  $m$  个  $C_n$  的并图, 记为  $C_n^{(m)}$  ( $n \geq 3$ ), 示例如图 1(c) 所示.

**定义 4<sup>[12]</sup>** 将两个扇图  $F_n$  的中心点  $v_0$  连接, 即具有公共点的 2 个  $F_n$  组成的图, 记为  $F_n^{(2)}$  ( $n \geq 2$ ), 示例如图 1(d) 所示.

**定义 5<sup>[13]</sup>** 将  $P_k$  的一个端点与  $C_n$  的一个点连接, 所得的图称为龙图, 记为  $C_n * P_k$ , 示例如图 1(e) 所示.

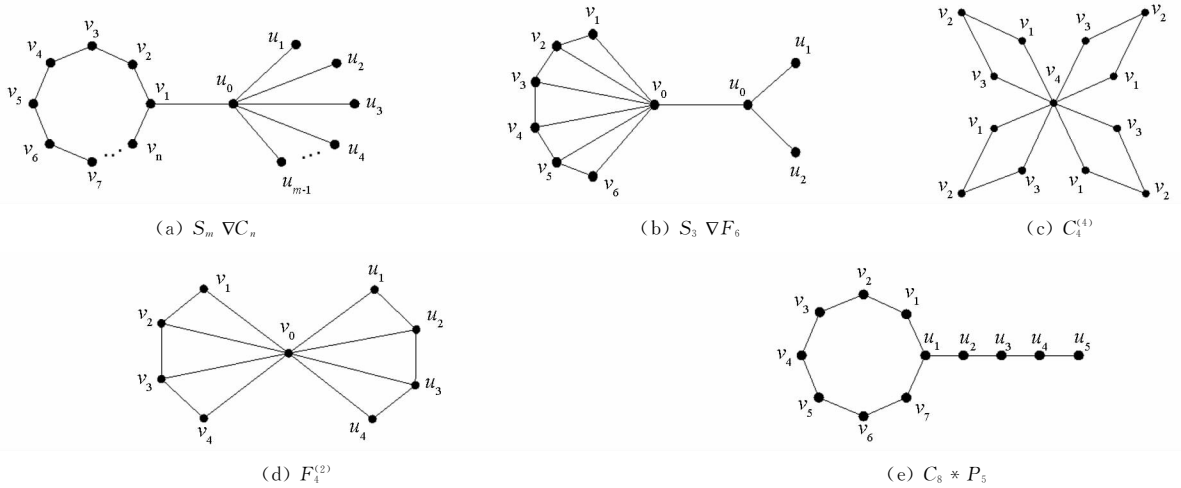


图 1 示例图

对于给定的图  $G(p, q)$ , VMTL 算法是基于搜索解空间的, 进而找出 VMTL, 为了方便说明该算法, 给出 VMTL 解空间  $\varphi(p, q, k)$  的定义:

**定义 6** 对于度序列  $(d(v_i), i = 1, 2, \dots, p)$  相同的一类图  $G(p, q)$ , 都存在一个表(如表 1), 设  $u, v \in V(G)$ ,  $uv \in E(G)$ , 映射  $f: V(G) \cup E(G) \rightarrow \{1, 2, \dots, p+q\}$ , 满足  $f(v), f(uv) \in [1, p+q]$ ,  $f(v) + \sum_{u \in N(v)} f(uv) = k$ ,  $N(v)$  表示与顶点  $v$  所关联的顶点的集合, 则称表 1 为图  $G(p, q)$  的 VMTL 解空间  $\varphi(p, q, k)$ .

表 1 VMTL 解空间  $\varphi(p, q, k)$

$d(v)$	点 $v$ 及关联边标号			
1	1, $k-1$	2, $k-2$	...	$p+q, k-(p+q)$
2	1, 2, $k-3$	1, 3, $k-4$	...	$p+q-1, p+q,$ $k-2p-2q+1$
...	...	...	...	...
$p-1$	1, 2, ..., $p-1$ , $k - \frac{(p-1)p}{2}$	1, 3, ..., $p$ , $k - \frac{(p+1)p}{2} - 2$	...	$q+2, q+3, \dots, p+q,$ $k - \frac{(p-1)(p+2q+2)}{2}$

对于度序列相同的一类图  $G(p, q)$  的 VMTL 解空间  $\varphi(p, q, k)$  具有如下性质:

- (i)  $\varphi(p, q, k)$  中可以组合构造的图集合记为  $G^*(p, q)$ , 其中包含连通图和非连通图, 但都存在 VMTL;
- (ii) 给定图  $G(p, q)$ , 若其存在 VMTL, 则必然包含在  $G^*(p, q)$  集合中, 即解空间  $\varphi(p, q, k)$  具有完备性;
- (iii) 如果图  $G(p, q)$  不包含在  $G^*(p, q)$  集合中, 则它不存在 VMTL.

## 2 VMTL 算法

### 2.1 基本计算

对于图  $G(p, q)$ , 当图  $G$  满足 VMTL 时, 存在映射:  $f: V(G) \cup E(G) \rightarrow \{1, 2, \dots, p+q\}$ , 即所有的标号总和  $C$  为  $C = S_p + S_q = \sum_{i=1}^{p+q} i$ , 其中  $S_p$  和  $S_q$  分别表示点和边标号值的总和.

图  $G$  的每个顶点满足  $f(v) + \sum_{u \in N(v)} f(uv) = k$ , 即  $S_p + 2S_q = pk$ .

当图  $G$  满足 VMTL 时, 得到边和  $S_q$ 、魔幻常数  $k$  的取值范围分别为

$$\sum_{i=1}^q i \leq S_q \leq \sum_{i=p+1}^{p+q} i$$

$$\frac{\sum_{i=1}^q i + C}{p} \leq k \leq \frac{\sum_{i=p+1}^{p+q} i + C}{p}$$

## 2.2 VMTL 算法

算法思路如图 2 所示：

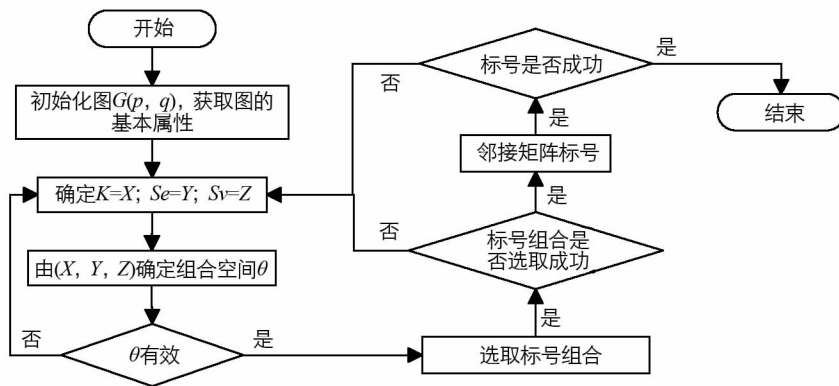


图 2 算法流程图

VMTL 算法步骤如下：

输入：图  $G(p, q)$  的邻接矩阵文件；

输出：VMTL 矩阵或非 VMTL 图；

begin

1. 读取图  $G$  的邻接矩阵 AdjaMatrix
2. get  $p, q, \text{degree}$  /\*  $p$  为图点的个数,  $q$  为边的个数,  $\text{degree}$  为度序列 \*/
3.  $G.\text{isSuccess} \leftarrow \text{false}$
4.  $C \leftarrow (p+q)(p+q+1)/2$
5. for  $i = \min$ ;  $i < \max$ ;  $i += p$  /\*  $\min$  和  $\max$  分别代表图  $G$  边标号之和的最小值和最大值 \*/
6.  $k \leftarrow (i+C)/p$  /\*  $k$  为顶点魔幻常数 \*/
7. get  $\varphi(p, q, k)$  /\* tuple( $a_1, a_2, \dots, a_m$ )  $\in \varphi(p, q, k)$  且  $a_1 + a_2 + \dots + a_m = k$  \*/
8. filter by degree get  $\varphi'(p, q, k)$
9. search  $\varphi'(p, q, k)$
10. if(tuples  $\rightarrow$  AdjaMatrix)
11.  $G.\text{isSuccess} \leftarrow \text{true}$
12. break
13. end if
14. end for
15. if(graph<sub>i</sub>.isSuccess == true)
16.     output(ResultMatrix<sub>i</sub>)
17. else
18.     output(AdjaMatrix)
19. end if
20. return
21. end

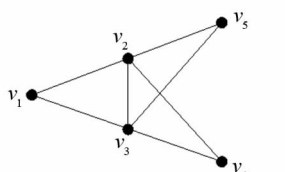
**引理 1** 给定图  $G(p, q)$ , 其 VMTL 解空间为  $\varphi(p, q, k)$ , 用 VMTL 算法搜索, 如果图  $G$  存在 VMTL, 则 VMTL 算法在  $\varphi(p, q, k)$  上一定有解, 否则图  $G$  不存在 VMTL.

**例 1** 表 2 为图集  $G(5, 7)$  中度序列为 311 的图的解空间, 图 3 为图集中一个图的 VMTL.

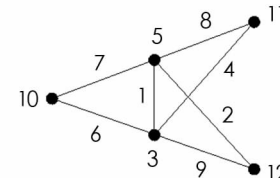
表 2 解空间  $\phi(5, 7, 23)$ 

$d(v)$		点 $v$ 及关联边标号					
$d(v_1) = d(v_4) =$	1, 10, 12	2, 9, 12	2, 10, 11	3, 8, 12	3, 9, 11	4, 7, 12	4, 8, 11
$d(v_5) = 2$	4, 9, 10	5, 6, 12	5, 7, 11	5, 8, 10	6, 7, 10	6, 8, 9	
	1, 2, 3, 5, 12	1, 2, 3, 6, 11	1, 2, 3, 7, 10	1, 2, 3, 8, 9	1, 2, 4, 5, 11	1, 2, 4, 6, 10	1, 2, 4, 7, 9
$d(v_2) = d(v_3) = 4$	1, 2, 5, 6, 9	1, 2, 5, 7, 8	1, 3, 4, 5, 10	1, 3, 4, 6, 9	1, 3, 4, 7, 8	1, 3, 5, 6, 8	1, 4, 5, 6, 7
			2, 3, 4, 5, 9	2, 3, 4, 6, 8	2, 3, 5, 6, 7		

注: 表中下划线标号组合为标成功的 VMTL 组合.



(a) 示意图



(b) 标号图

图 3 图的 VMTL

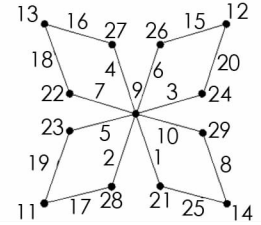
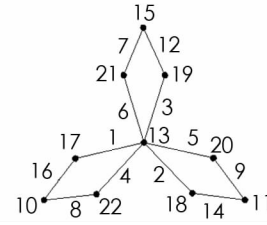
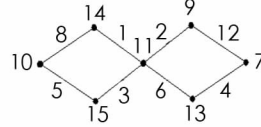
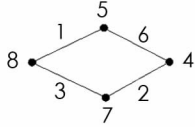
### 3 算法结论及证明

**定理 1** 对于图  $C_4^{(m)}$ , 当  $1 \leq m \leq 4$  时存在 VMTL, 当  $m \geq 5$  时不存在 VMTL.

**证** 设  $V(C_4) = \{v_1, v_2, v_3, v_4\}$ , 即  $|V(C_4^{(m)})| = 3m + 1$ ,  $|E(C_4^{(m)})| = 4m$ , 所以

$$f(V(C_4^{(m)})) \cup f(E(C_4^{(m)})) \longrightarrow \{1, 2, \dots, 7m + 1\}$$

由 VMTL 算法得到图  $C_4^{(m)}$  ( $1 \leq m \leq 4$ ) 的 VMTL 如图 4 所示:

图 4 图  $C_4^{(m)}$  的 VMTL

对于图  $C_4^{(m)}$ ,  $k$  取最小值时, 图  $C_4^{(m)}$  的最大度点以及其关联边取最小标号值

$$k \geq f(v) + \sum_{u \in N(v)} f(uv) = 1 + \sum_{i=2}^{2m+1} i = 2m^2 + 3m + 1$$

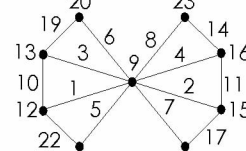
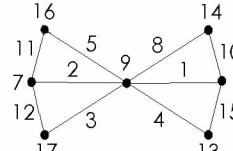
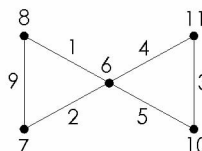
$k$  取最大值时,  $C_4^{(m)}$  中  $2m$  条边加两次, 即  $3mk \leq \sum_{i=2}^{7m+1} i + \sum_{i=5m+2}^{7m+1} i = \frac{1}{2}(73m^2 + 27m)$ .

可得  $2m^2 + 3m + 1 \leq \frac{1}{2}(73m^2 + 27m)$ . 由  $12m^2 - 55m - 21 \leq 0$ , 得到  $1 \leq m \leq 4$ , 所以, 定理 1 成立.

**定理 2** 对于图  $F_n^{(2)}$ , 当  $2 \leq n \leq 4$  时存在 VMTL, 当  $n \geq 5$  时不存在 VMTL.

**证** 设扇图  $F_n$  的顶点集合  $V(F_n) = \{v_0, v_1, v_2, \dots, v_n\}$ , 即  $|V(F_n^{(2)})| = 2n + 1$ ,  $|E(F_n^{(2)})| = 4n - 2$ , 所以  $f(V(F_n^{(2)})) \cup f(E(F_n^{(2)})) \longrightarrow \{1, 2, \dots, 6n - 1\}$ .

由 VMTL 算法得到图  $F_n^{(2)}$  ( $2 \leq n \leq 4$ ) 的 VMTL 如图 5 所示:

(a)  $F_2^{(2)}$ (b)  $F_3^{(2)}$ (c)  $F_4^{(2)}$ 图 5  $F_n^{(2)}$  的 VMTL

$k$  取最小值时, 图  $F_n^{(2)}$  的最大度点以及其关联边取最小标号值, 即

$$k \geqslant f(v_0) + \sum_{u \in N(v_0)} f(uv_0) = 1 + \sum_2^{2n+1} i = 2n^2 + 3n + 1$$

$k$  取最大值时, 图  $F_n^{(2)}$  中边缘  $n - 1$  条边加两次, 所以取最大标号值, 即

$$2nk \leqslant \sum_2^{6n-1} i + \sum_{4n+2}^{6n-1} i = 28n^2 - 12n - 2$$

可得  $2n^2 + 3n + 1 \leqslant \frac{1}{2}(28n^2 - 12n - 2)$ ,  $2n^3 - 11n^2 + 7n + 1 \leqslant 0$ , 得到  $1 \leqslant n \leqslant 4$ . 所以, 定理 2 成立.

**定理 3** 对于图  $C_3 * P_k$ , 当  $2 \leqslant k \leqslant 14$  时存在 VMTL.

**证** 设  $V(C_n) = \{v_1, v_2, \dots, v_n\}$ ,  $V(P_k) = \{u_0, u_1, u_2, \dots, u_k\}$ , 即  $|V(C_n * P_k)| = n + k - 1$ ,  $|E(C_n * P_k)| = n + k - 1$ , 所以  $f(V(C_n * P_k)) \cup F(E(C_n * P_k)) \rightarrow \{1, 2, \dots, 2n + 2k - 2\}$ .

$k$  取最小值时, 图  $C_3 * P_k$  的最大度点以及其关联边取最小标号值  $k \geqslant 10$ ;

$k$  取最大值时,  $C_n$  中  $n$  条边加两次, 所以  $C_n$  中  $n - 2$  条边取最大值,  $P_k$  的  $k - 1$  个顶点以及其关联边取次大标号值, 即

$$(n + k - 2)k \leqslant \sum_2^{2n+2k-2} i + \sum_{n+k+3}^{2n+2k-2} i = \frac{1}{2}(7k^2 + 7n^2 + 14kn - 17n - 17k - 4)$$

可得  $10 \leqslant \frac{7k^2 + 7n^2 + 14kn - 17n - 17k - 4}{2(n + k - 2)}$ ,  $7k^2 + (14n - 37)k + 7n^2 - 37n + 36 \geqslant 0$ , 得到  $k \geqslant -n + 4$ . 当  $n = 3$  时,  $k \geqslant 1$ , 图  $C_3 * P_k$  可能存在 VMTL.

由 VMTL 算法得到图  $C_3 * P_k$  ( $2 \leqslant k \leqslant 14$ ) 的 VMTL 如表 3 所示:

表 3 图  $C_3 * P_k$  的 VMTL

图 $C_3 * P_k$	$f(v_1), f(v_2), f(v_3)$	$f(v_1v_2), f(v_2v_3), f(v_1v_3)$	$f(u_1), f(u_2), \dots, f(u_k)$	$f(u_1u_2), f(u_2u_3), f(u_{k-1}u_k)$
$k = 2$	4,5,1	7,2,3	1,6	8
$k = 3$	7,6,8	5,3,2	8,9,10	1,4
$k = 4$	6,7,11	9,1,6	11,10,8,12	3,4,5
$k = 5$	11,12,13	6,1,2	13,9,8,10,14	3,7,4,5
$k = 6$	8,9,15	12,1,2	15,11,10,14,13,16	4,7,5,3,6
$k = 7$	16,17,18	6,1,2	18,14,13,12,11,10,15	3,7,4,8,5,9
$k = 8$	20,18,19	6,3,1	19,16,11,13,14,17,10,12	4,7,9,5,8,2,15
$k = 9$	21,22,14	1,6,7	14,19,12,17,16,15,20,13,18	2,8,9,3,10,4,5,11
$k = 10$	23,24,13	1,7,8	13,22,15,16,17,19,20,21,12,14	4,6,11,5,10,3,9,2,18
$k = 11$	26,25,17	1,8,7	17,23,14,20,21,19,16,15,24,18,22	2,9,11,3,10,5,13,6,4,12
$k = 12$	27,28,17	1,8,9	17,23,22,26,24,18,19,20,15,25,14,16	3,11,4,7,6,13,5,12,10,2,21
$k = 13$	29,30,20	1,8,9	20,27,26,25,16,23,22,21,28,19,18,17,24	2,10,3,11,12,4,13,5,6,14,7,15
$k = 14$	32,31,20	1,10,9	20,28,27,30,19,22,25,17,23,29,21,26,16,18	3,11,4,8,15,5,12,13,6,7,14,2,24

注: 表中  $f(v_i)$  表示点  $v_i$  的 VMTL 标号值,  $f(v_iv_{i+1})$  表示边  $v_iv_{i+1}$  的 VMTL 标号值.

所以, 定理 3 成立.

**猜想 1** 对于  $C_n * P_k$ , 当  $n \geqslant 3$ ,  $k \geqslant 2$  时存在 VMTL.

**定理 4** 对于图  $S_m \nabla C_3$ , 当  $1 \leqslant m \leqslant 3$  时存在 VMTL, 当  $m \geqslant 4$  时不存在 VMTL.

**证** 设  $V(C_n) = \{v_1, v_2, \dots, v_n\}$ ,  $V(S_m) = \{u_0, u_1, u_2, \dots, u_m\}$ , 即

$$|V(S_m \nabla C_n)| = n + m \quad |E(S_m \nabla C_n)| = n + m$$

所以  $f(V(S_m \nabla C_n)) \cup F(E(S_m \nabla C_n)) \rightarrow \{1, 2, \dots, 2n + 2m\}$ .

$k$  取最小值时,  $u_0$  和  $v_1$  点及其关联边取小标号值, 边  $u_0v_1$  加两次, 所以  $f(u_0v_1)$  取最小值 1, 即

$$2k \geqslant f(u_0) + \sum_{u \in N(u_0)} f(uu_0) + f(v_1) + \sum_{v \in N(v_1)} f(vv_1) = \sum_1^{m+4} i + 1 = \frac{1}{2}(m^2 + 9m + 22)$$

$k$  取最大值时,  $C_n$  中  $n - 2$  条边加两次, 所以  $C_n$  中  $n - 2$  条边取最大值,  $S_m$  的  $m - 1$  个叶子节点以及

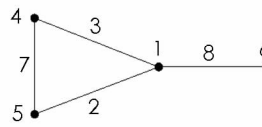
其关联边取次大标号值, 即

$$(m+n-2)k \leq \sum_{i=1}^{m-1} f(u_i) + \sum_{u \in N(u_i)} f(uu_i) + \sum_{i=1}^{n-1} f(v_i) + \sum_{v \in N(v_i)} f(vv_i) = \sum_{i=4}^{2m+2m} i + \sum_{i=2m+n+3}^{2m+2m} i = \frac{1}{2}(4m^2 + 7n^2 + 12mn - 6m - n - 18)$$

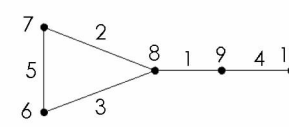
$$\text{可得 } \frac{1}{4}(m^2 + 9m + 22) \leq \frac{4m^2 + 7n^2 + 12mn - 6m - n - 18}{2(m+n-2)}, m^3 - m^2 + m^2n - 15mn + 16m - 14n^2 + 24n - 8 \leq 0.$$

当  $n = 3$  时, 有  $m^3 + 2m^2 - 29m - 62 \leq 0$ , 得到  $-2 \leq m \leq 5$ . 所以, 当  $m \geq 6$  时, 图  $S_m \nabla C_3$  不存在 VMTL.

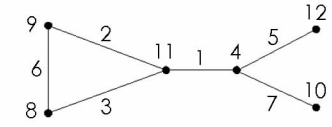
图  $S_m \nabla C_3$  ( $1 \leq m \leq 3$ ) 的 VMTL 如图 6 所示:



(a)  $S_1 \nabla C_3$  标号图



(b)  $S_2 \nabla C_3$  标号图



(c)  $S_3 \nabla C_3$  标号图

图 6 图  $S_m \nabla C_3$  的 VMTL

对于图  $S_4 \nabla C_3$ ,  $|V(S_4 \nabla C_3)| = 7$ ,  $|E(S_4 \nabla C_3)| = 7$ , 所以  $f(V(S_4 \nabla C_3)) \cup f(E(S_4 \nabla C_3)) \rightarrow \{1, 2, \dots, 14\}$ . 根据引理 1, 在解空间  $\varphi(7, 7, k)$  中执行 VMTL 算法得出该图不存在 VMTL. 同理, 可得图  $S_5 \nabla C_3$  不存在 VMTL.

综上所述, 定理 4 成立.

**定理 5** 对于图  $S_2 \nabla F_n$ , 当  $2 \leq n \leq 8$  时存在 VMTL, 当  $n \geq 9$  时不存在 VMTL.

**证** 设扇图  $F_n$  的顶点集合  $V(F_n) = \{v_0, v_1, v_2, \dots, v_n\}$ ,  $V(S_2) = \{u_0, u_1, u_2\}$ ,  $|V(S_m \nabla F_n)| = n+3$ ,  $|E(S_m \nabla F_n)| = 2n+1$ ,  $f(V(S_m \nabla F_n)) \cup f(E(S_m \nabla F_n)) \rightarrow \{1, 2, \dots, 3n+4\}$ .

$k$  取最小值时,  $v_0$  点及其关联边取最小标号值, 即

$$k \geq f(v_0) + \sum_{v \in N(v_0)} f(vv_0) = \sum_{i=1}^{n+2} i = \frac{1}{2}(n^2 + 5n + 6)$$

$k$  取最大值时, 扇图  $F_n$  中  $n-1$  条边加两次, 所以取最大标号值, 即

$$(n+2)k \leq \sum_{i=2}^{3n+4} i + \sum_{i=2n+6}^{3n+4} i = \frac{1}{2}(14n^2 + 32n + 8)$$

$$\text{可得 } \frac{1}{2}(n^2 + 5n + 6) \leq \frac{14n^2 + 32n + 8}{2(n+2)}, \text{ 即 } n^3 - 7n^2 - 16n + 4 \leq 0, \text{ 得到 } 0 \leq n \leq 8.$$

由 VMTL 算法得到图  $S_2 \nabla F_n$  ( $2 \leq n \leq 8$ ) 的 VMTL 如表 4 所示:

表 4 图  $S_2 \nabla F_n$  的 VMTL

图 $S_2 \nabla F_n$	$f(v_1), f(v_2), \dots, f(v_n)$	$f(v_1 v_2), f(v_2 v_3), \dots, f(v_{n-1} v_n)$	$f(v_1 v_0), f(v_2 v_0), \dots, f(v_n v_0)$	$f(v_0), f(v_0 u_0), f(u_0), f(u_0 u_1), f(u_2)$
$n = 2$	7, 6	5	2, 3	8, 1, 9, 4, 10
$n = 3$	11, 7, 13	5, 6	4, 2, 1	10, 3, 9, 8, 12
$n = 4$	15, 12, 11, 13	8, 5, 6	3, 1, 4, 7	9, 2, 14, 10, 16
$n = 5$	18, 16, 15, 13, 17	10, 6, 8, 9	5, 1, 4, 3, 7	11, 2, 12, 19, 14
$n = 6$	20, 15, 14, 16, 19, 22	13, 8, 12, 9, 10	6, 3, 5, 2, 1, 7	11, 4, 17, 18, 21
$n = 7$	23, 15, 21, 20, 19, 18, 25	16, 9, 14, 11, 12, 13	7, 6, 2, 1, 4, 3, 8	10, 5, 17, 24, 22
$n = 8$	24, 17, 18, 15, 19, 21, 14, 20	23, 11, 25, 13, 16, 12, 26	8, 4, 1, 2, 7, 6, 3, 9	10, 5, 22, 28, 27

注:  $f(v_i)$  表示点  $v_i$  的 VMTL 标号值,  $f(v_i v_{i+1})$  表示边  $v_i v_{i+1}$  的 VMTL 标号值.

所以, 定理 5 成立.

## 4 结论

图的 VMTL 自提出以来, 已有很多特殊图的标号结论, 由于图数量庞大, 利用手工标号找出图的标号

规律局限于特殊图, 即通过对点数少的一类图进行标号, 发现标号规律, 然后验证点数多的该类型图是否满足该规律, 但是这种方法无法找出一般图的标号规律.

本文给出一种针对顶点魔幻解空间的递归搜索 VMTL 算法, 利用 VMTL 的特性以及一系列剪枝函数对其进行优化, 对整个解空间进行搜索遍历. 该算法可以对有限点内的所有图进行标号, 得出该图是否存在 VMTL, 然后从结果集中分析标号结果, 找到龙图、图  $C_4^{(m)}$ 、图  $F_n^{(2)}$  以及联图  $G \nabla H$  的标号规律, 总结出若干定理.

### 参考文献:

- [1] BONDY J A, MURTY U S R. Graph Theory with Applications [M]. London: Macmillan Education UK, 1976.
- [2] ROSA A. On Certain Valuations of the Vertices of a Graph [J]. Theory of Graphs, 1967, 1967: 349-355.
- [3] 唐保祥, 任 韩. 两类包含子图  $K_{1,m,n}$  和  $W_n$  的优美图 [J]. 西南师范大学学报(自然科学版), 2015, 40(10): 1-5.
- [4] 刘秀丽. 几类特殊图的 Mycielski 图的(2,1)-全标号 [J]. 西南大学学报(自然科学版), 2018, 40(12): 100-104.
- [5] MACDOUGALL J A, MILLER M, WALLIS W D. Vertex-Magic Total Labelings of Graphs [J]. Utilitas Mathematica, 2002, 61: 3-21.
- [6] MCQUILLAN D. Edge-Magic and Vertex-Magic Total Labelings of Certain Cycles [J]. Ars Combin, 2009, 91: 257-266.
- [7] KRISHNAPPA H K, KOTHAPALLI K, VENKAIAH V C. Vertex Magic Total Labelings of Complete Graphs 1 [J]. Akce Int J Graphs Comb, 2009, 6(1): 143-154.
- [8] PRIHANDOKO A C, SETIAWAN T B, ROSITA F, et al. Vertex-Magic Total Labelings of Disconnected Graphs [J]. 2006(2): 147-156.
- [9] GRAY I D, MACDOUGALL J A. Vertex-Magic Labelings of Regular Graphs II [J]. Discrete Mathematics, 2009, 309(20): 5986-5999.
- [10] GRAY I D, MACDOUGALL J A. Vertex-Magic Labeling of Regular Graphs: Disjoint Unions and Assemblages [J]. Discrete Applied Mathematics, 2012, 160(7-8): 1114-1125.
- [11] GRAY I D, MACDOUGALL J, MCSORLEY J P, et al. Vertex-Magic Labeling of Trees and Forests [J]. Discrete Mathematics, 2003, 261(1-3): 285-298.
- [12] GALLIAN J A. A Dynamic Survey of Graph Labeling [J]. Electronic Journal of Combinatorics, 2009, 16(6): 1-219.
- [13] 刘信生, 刘元元, 姚 兵, 等. 具有奇优美性的一类龙图 [J]. 西南大学学报(自然科学版), 2014, 36(4): 47-51.

## Vertex-Magic Total Labelings of Some Graphs

XI Xiao-hui, LI Jing-wen, SUN Shuai

School of Electronic and Information Engineering, Lanzhou Jiaotong University, Lanzhou 730070, China

**Abstract:** In this paper, a recursive search algorithm has been designed for vertex magic solution space, which uses the characteristics of vertex magic-total labeling and a series of pruning functions to optimize, the solution of vertex-magic total labeling of any simple connected graph with finite vertices is realized. By analyzing and summarizing the obtained results, finding the labeling rules of dragon graphs,  $C_4^{(m)}$ ,  $F_n^{(2)}$  and a class of graphs described by joint graphs  $G \nabla H$ , and summarizing several theorems.

**Key words:** vertex-magic total labelings; algorithm; pruning function; connected graph